

# معرفی ساختارهای جدید برای لچ و فلیپ فلاپ نوع D در تکنولوژی اتوماتای سلولی نقطه‌ای کوانتومی و استفاده از آن در مدارهای آشکارساز فاز-فرکانس، تقسیم کننده فرکانسی و شمارنده

رضا بینایی<sup>۱</sup> محمد غلامی<sup>۲</sup> ساناز مهدیان جویباری<sup>۳</sup>

۱- دانش آموخته کارشناسی ارشد- دانشکده مهندسی برق و کامپیوتر- موسسه آموزش عالی صنعتی مازندران- بابل- ایران  
[rezabinaei1373@gmail.com](mailto:rezabinaei1373@gmail.com)

۲- استادیار- دانشکده فنی و مهندسی- دانشگاه مازندران- بابل- ایران  
[m.gholami@umz.ac.ir](mailto:m.gholami@umz.ac.ir)

۳- دانشجوی دکتری- دانشکده مهندسی برق- دانشگاه آزاد اسلامی واحد سمنان- سمنان- ایران  
[sanazmahdiyan@gmail.com](mailto:sanzmahdiyan@gmail.com)

**چکیده:** در این مقاله، یک ساختار جدید برای لچ نوع D در تکنولوژی اتوماتای سلولی نقطه‌ای کوانتومی که دارای پایه های نشانند و بازنشانی است، ارائه شده است. ساختار پیشنهادی علیرغم داشتن پایه‌های نشانند و بازنشاندن، تنها دارای ۳۵ سلول کوانتومی، تاخیری معادل با نیم سیکل کلاک و سطح مقطع اشغالی برابر با ۳۹۲۰۴ نانومتر مربع است. سپس از این ساختار برای پیاده‌سازی فلیپ فلاپهای نوع D دارای پایه‌های نشانند و بازنشاندن حساس به لبه بالارونده، پایین رونده و هر دو لبه استفاده شده است. به عنوان نمونه ساختار پیشنهادی فلیپ فلاپ نوع D حساس به لبه بالا رونده با پایه‌های نشانند و بازنشانی دارای ۵۵ سلول کوانتومی، تاخیر ۰/۷۵ سیکل کلاک و سطح مقطع اشغالی ۱۴۰۴ نانومتر مربع است. در ادامه جهت اثبات صحت رفتاری مدار پیشنهادی در مدارهای پیچیده‌تر، این ساختارها در قالب آشکارساز فاز-فرکانس، تقسیم کننده فرکانسی و شمارنده مورد استفاده قرار گرفته است. برای ساختارهای پیشنهادی شبیه سازی پارامترهای توان نیز صورت گرفته است.

**واژه های کلیدی:** اتوماتای سلولی نقطه‌ای کوانتومی، تاخیر، لچ، فلیپ فلاپ، آشکارساز فاز-فرکانس، شمارنده.

**نوع مقاله:** پژوهشی

تاریخ ارسال مقاله: ۱۳۹۸/۰۴/۱۰

تاریخ پذیرش مشروط مقاله: ۱۳۹۹/۰۱/۱۶

تاریخ پذیرش مقاله: ۱۳۹۹/۰۲/۰۱

نام نویسنده‌ی مسئول: محمد غلامی

نشانی نویسنده‌ی مسئول: ایران- بابل- پردیس دانشگاه مازندران- دانشکده‌ی فنی و مهندسی

## ۱- مقدمه

تکنولوژی CMOS، یک تکنولوژی مهم در تولید مدار مجتمع (IC) می‌باشد. این تکنولوژی، طراحی IC را در طول دهه‌های گذشته به علت خصوصیات کلیدی خود که شامل توان پایین، چگالی بالا و سرعت بالای آن نسبت به تکنولوژی‌های پیش از خود بوده است را متحول نموده است [۱]. در حالی که حتی تکنولوژی CMOS در مقیاس نانو نیز موجود می‌باشد، مسائل مربوط به ناخالصی فضا، ضخامت اکسید، چسبندگی لایه‌ها، موانع نفوذ انتشار، اتلاف توان و نشت جریان، سوالات عمده‌ای را در مورد امکان پذیر بودن کوچکسازی بیشتر در تکنولوژی CMOS در آینده فراهم می‌آورند [۲]. مسئله اصلی در مورد نانو تکنولوژی این است که چه نوع تکنولوژی جدیدی جایگزین ترانزیستورهای CMOS استاندارد می‌گردد. یکی از این کاندیداها برای جایگزینی تکنولوژی CMOS، تکنولوژی اتوماتای سلولی کوآتوم (QCA) می‌باشد.

تکنولوژی QCA در سال ۱۹۹۳ توسط توگاو و لنت معرفی شده است [۳]. تکنولوژی QCA الکترونیک دیجیتال را هدف قرار داده و با توجه به مزایایی که دارد به نظر احتمال موفقیت فراوانی نسبت به دیگر رقبای خود در این زمینه دارد. این تکنولوژی از یک آرایه از سلول‌های کوآتوم نقطه‌ای است که توسط ارتباط الکترون‌های خود به هم مرتبط گشته‌اند. در این طرح موقعیت کوآتوم هر سلول به منظور رمزگذاری اطلاعات باینری مورد استفاده قرار می‌گیرد. ارتباطات کولنی موقعیت یک سلول را به موقعیت سلول مجاور مرتبط می‌سازد. بنابراین مشکلات مربوط به جریان‌ات خروجی کوچک و ظرفیت الکتریکی پارازیتی ارتباط سیم‌ها اتفاق نمی‌افتد. سیم‌های باینری که از طیف خطی از سلول‌ها تشکیل شده‌اند در عبور اطلاعات موثر بوده و کدگذاری شده‌اند [۴].

یکی از مزیت‌های عمده این ابزار این است که همان سلول‌هایی که برای ایجاد گیت منطقی به کار رفته‌اند، می‌توانند در ساخت سیم‌های حامل سیگنال منطقی به کار روند. QCA فرکانس اجرایی را در طیف تراهرتز امکان پذیر ساخته و چگالی پیوستگی ادوات در حدود ۹۰۰ برابر بیشتر از محدودیت‌های مقیاس‌گذاری CMOS می‌باشد. یکی دیگر مزیت مدارهای QCA این است که نیاز به جریان در مدار نداشته و به جای آن کلاک در QCA مسئول راه اندازی مدار و جریان آن می‌باشد. یکی از مهم‌ترین خصوصیات QCA توانایی ایجاد عبور سیم هم صفحه می‌باشد. این امر اجرای طرح‌های وسیع را در یک لایه خاص امکان پذیر ساخته و نیاز به اتصال لایه فلزی پیچیده را حذف می‌نماید. از آنجایی که مفهوم QCA شامل انتقال الکترون‌ها نمی‌باشد، ظرفیتی بالقوه در محاسبه توان واقعاً پایین حتی پایین‌تر از KBT سنتی دارد [۵]. این مزایا دلیلی شده تا در این پژوهش از این تکنولوژی برای طراحی مدارهای دیجیتالی استفاده شود.

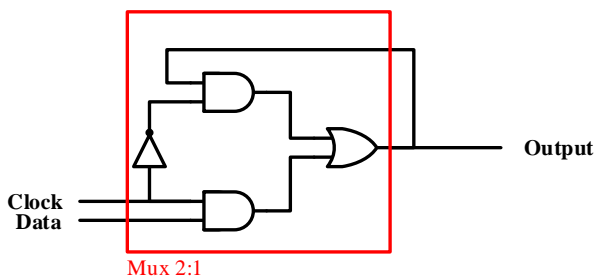
دو مورد از طرح‌های فلیپ فلاپ در سال ۲۰۰۹ در مقاله [۶] برای فلیپ فلاپ نوع D معرفی شد که در طرح اول از لچ پیشنهادی مقاله [۷] و یک مبدل حساسیت سطح به لبه استفاده نموده و در طرح دوم بلوک جدیدی را معرفی نموده‌اند. هم‌اکنون نیز بسیاری از طراحان از ایده مطرح شده در این مقاله برای تبدیل لچ به فلیپ استفاده می‌نمایند. اما با توجه به تأخیر مدار و فضا اشغالی و تعداد سلول زیادی که مصرف می‌نماید گزینه مناسبی برای مدارهای بزرگ نمی‌باشد. طرح پیشنهادی اصلی این مقاله نیز از تأخیر مناسبی برخوردار است که مهم‌ترین مزیت آن می‌باشد. از معایب این طرح می‌توان با تعداد سلول و فضای اشغالی زیاد اشاره نمود و خروجی گرفتن از این مدار نیز سخت می‌باشد. پایه ورودی این مدار از عبور هم صفحه استفاده نموده که آن را تضعیف نموده و در صورت استفاده در مدارهای بزرگ‌تر می‌تواند در عملکرد مدار تأثیرگذار و منجر به خروجی اشتباه شود. در [۸] نیز ساختارهای بهبود یافته‌ای از فلیپ فلاپها برای افزودن پایه نشانند و بازنشانی مورد بررسی قرار گرفته است که از ایرادهای این ساختارها می‌توان به تعداد زیاد سلولهای و سطح مقطع اشغالی بالا آنها اشاره نمود. در [۹] نیز ساختاری برای لچ و فلیپ فلاپ نوع D ارائه شده‌اند که از مزایای آن میتوان به اضافه شدن پایه نشانند و بازنشانی اشاره کرد و از ایرادهای آن نیز می‌توان بحث پایداری و توان مصرفی را مطرح نمود. همچنین در [۱۰] نیز فلیپ فلاپ جدید ارائه شده است که با وجود اضافه شدن قابلیت نشانند و بازنشانی مواردی مانند تاخیر زیاد و پیچیدگی بالا از ضعفهای ساختارهای پیشنهادی است. در نهایت در [۱۱] و [۱۲] نیز دو ساختار متفاوت برای اضافه نمودن پایه بازنشانی در فلیپ فلاپ مطرح شده است که نیاز به تعداد سلول زیاد داشته و پایه‌ی بازنشانی آنها نیز به صورت غیر همزمان است. سایر تلاشهایی که در حوزه طراحی فلیپ فلاپها صورت پذیرفته است از نقص عدم حضور پایه‌های نشانند و بازنشاندن رنج می‌برند.

لذا در این پژوهش تلاش می‌شود تا مدارهایی برای لچ و فلیپ فلاپ نوع D با قابلیت بازنشانی و نشانند در تکنولوژی QCA معرفی شود. همچنین تلاش گردیده تا طرح‌های پیشنهادی از نظر پارامترهای مهم در این تکنولوژی مانند تعداد سلول و فضای اشغالی و تأخیر مناسب باشند. با توجه به این که لچ‌ها و فلیپ فلاپ‌ها به ندرت به صورت جدا استفاده شده و معمولاً بلوکی در طراحی مدارهای ترتیبی هستند، سعی می‌شود تا مدارهای پیشنهادی در مدارهای دیگر بکار گرفته شود تا درستی و صحت عملکرد آنها نشان داده شود. از مدارهای کاربردی طراحی شده در این مقاله می‌توان به آشکارساز فاز-فرکانس (PFD)، تقسیم کننده فرکانسی و شمارنده اشاره کرد.

این مقاله به صورت زیر سازمان‌دهی شده است. بخش بعد به اصول عملکردی QCA می‌پردازد. در بخش سوم لچ و فلیپ فلاپهای نوع D پیشنهادی ارائه خواهند شد. در بخش چهارم کاربردهای ساختارهای پیشنهادی بیان و ساختارهای مرتبط پیشنهاد خواهند شد. بخش

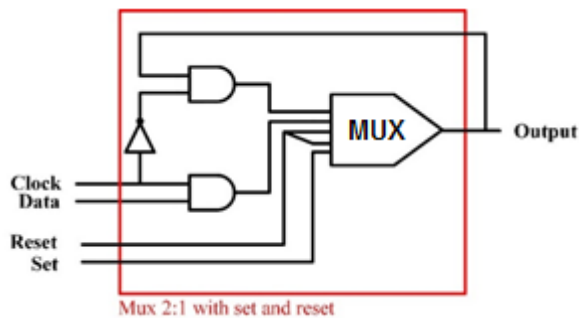
$$output = Data.Clock + Output.Clock \quad (1)$$

خواهد بود. مالتی پلکسر را نیز می توان از سه گیت اکثریت سه ورودی (دو گیت AND و یک گیت OR دو ورودی) و یک گیت وارونگر طراحی نمود. بلوک دیاگرام مربوط به این طرح در شکل (۳) نشان داده شده است.



شکل (۳): بلوک دیاگرام لچ نوع D مرسوم

برای افزودن قابلیت بازنشانی و نشاندن به این طرح راه های مختلفی وجود دارد. یک روش این است که مداری برای تشخیص فعال شدن این قابلیت ها طراحی شود و به ابتدا یا انتهای مدار افزوده شود. این روش خود می تواند توسط یک مالتی پلکسر یا توسط مداری ساده با دو گیت اکثریت سه ورودی پیاده سازی شود. طرح های پیشینی که در این راستا در تکنولوژی QCA پیشنهاد شده بودند، مشکلاتی مانند تعداد سلول، تاخیر و سطح مقطع اشغالی زیاد را داشته اند [۱۲]. در این پژوهش طرحی پیشنهاد می شود که مشکلات کمتری نسبت به روش های قبلی داشته باشد. در این روش به این مورد توجه شده است که برای محاسبه بازنشانی و نشاندن، مدار تأخیری اضافه را تحمل ننماید. در عمل با جایگزینی گیت OR مالتی پلکسر که در بخش انتهایی آن قرار دارد با یک گیت اکثریت پنج ورودی می توان قابلیت بازنشانی و نشاندن را به مالتی پلکسر افزود. در این مقاله طرحی پیشنهاد می شود که در آن اولویت با پایه بازنشانی می باشد. در این روش پایه بازنشانی به دو پایه ورودی گیت اکثریت پنج ورودی و پایه نشاندن و خروجی دو گیت AND نیز به سه پایه دیگر آن متصل می شوند. شکل (۴) نشان دهنده بلوک دیاگرام طرح پیشنهادی می باشد.

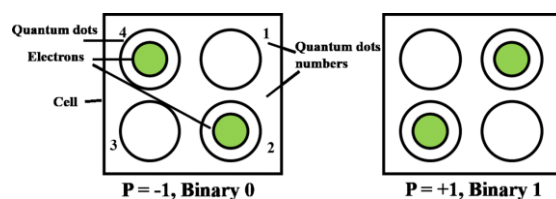


شکل (۴): بلوک دیاگرام پیشنهادی برای طراحی لچ نوع D با قابلیت بازنشانی و نشاندن

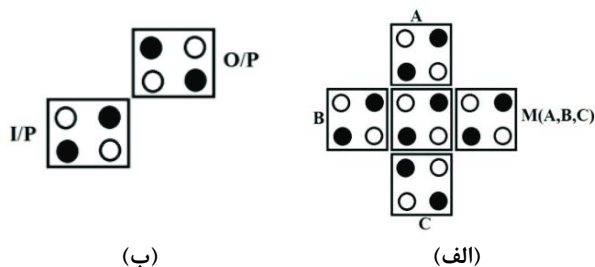
پنجم نیز به ارائه نتایج شبیه سازی طرح های مطرح شده می پردازد. بخش ششم نیز جمع بندی و نتیجه گیری مقاله خواهد بود

## ۲- اصول عملکردی QCA

اصول عملکردی در QCA بر اثر کولمبی بین بارهای الکتریکی استوار است. سلولهای پایه در QCA در شکل (۱) نشان داده شده است. با توجه به نحوه دافعه الکتروستاتیکی بین بارهای همنام تنها دو حالت پایدار برای سلولها وجود دارد که طبق شکل به عنوان یک منطقی و صفر منطقی اطلاق می گردند.



شکل (۱): سلولهای پایه در QCA

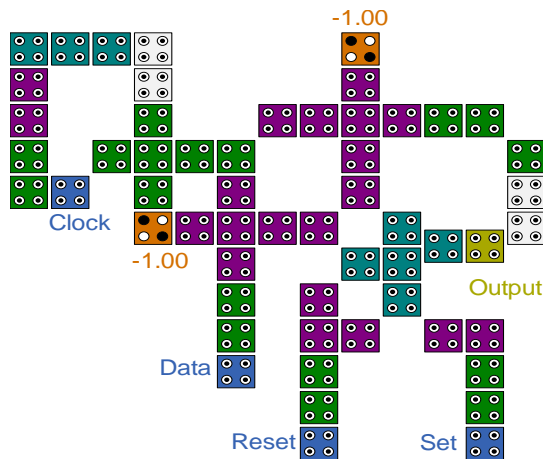


شکل (۲): الف- گیت اکثریت در QCA ب- گیت وارونگر در QCA

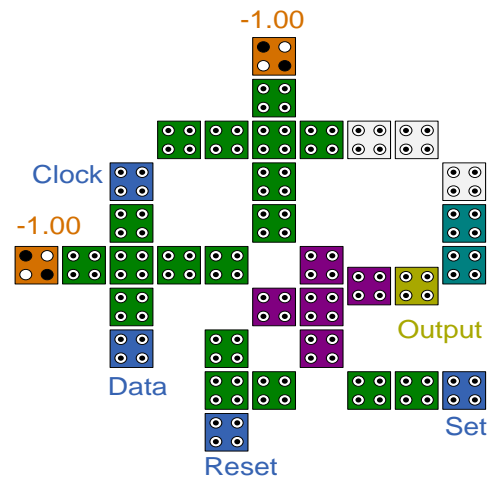
پایه ترین گیتها در طراحی مدارهای منطقی مبتنی بر QCA گیتهای اکثریت و گیت وارونگر هستند که نمایی از آنها در شکل (۲) نشان داده شده است. همچنین از به هم پیوستن سلولهای QCA میتوان سیمها را تشکیل داد [۹]. شایان ذکر است که انتقال داده در QCA مبتنی بر سیستم کلاک بندی درست می باشد [۱۰]. کلاک در سلولهای QCA دارای ۴ فاز می باشد که انتقال درست داده به شرط اتصال صحیح سلولها در کلاک بندی صورت می پذیرد [۹ و ۱۰].

## ۳- لچ و فلیپ فلاپ نوع D پیشنهادی در تکنولوژی QCA

برای طراحی مدار مورد نظر باید ابتدا بلوک دیاگرام آن را طراحی نمود. با توجه به فعالیتهای صورت گرفته در طراحی لچ نوع D یک بلوک مرسوم موجود است. این روش که بیشتر مدارهای طراحی شده در تکنولوژی QCA از آن پیروی می نمایند، استفاده از یک مالتی پلکسر است که خروجی آن به یکی از ورودیها متصل شده است. بدین صورت فرمول خروجی برابر با



شکل (۷): فلیپ فلاپ نوع D حساس به لبه پایین رونده پیشنهادی در تکنولوژی اتوماتای سلولی نقطه‌ای کوانتومی



شکل (۵): لچ پیشنهادی در تکنولوژی QCA

طرح فلیپ فلاپ نوع D حساس به هر دو لبه پیشنهادی با افزودن مدار تبدیل حساسیت از سطح به لبه‌ها با فرمول  $Clock(t) \oplus Clock(t-1)$  به لچ شکل (۵) مورد طراحی قرار گرفته و طرح آن در شکل (۸) قابل نمایش است. این طرح از ۶۴ سلول و تأخیر ۰/۷۵ سیکل تشکیل شده و ۷۶۸۸۴ نانومتر مربع از فضا را اشغال می‌نماید.

#### ۴- کاربردهای فلیپ فلاپهای پیشنهادی در تکنولوژی QCA

در این بخش از ساختارهای فلیپ فلاپهای پیشنهادی در مدارات دیگری استفاده خواهد شد تا نحوه بکارگیری آنها در مدارات پیچیده‌تر و ویژگی‌های آنها مورد ارزیابی قرار گیرد. در این راستا از فلیپ فلاپها در طراحی مدارهای آشکارساز فاز-فرکانس، تقسیم کننده‌های فرکانسی و شمارنده مورد استفاده قرار خواهد گرفت.

#### ۴-۱- طراحی آشکارساز فاز-فرکانس در تکنولوژی QCA

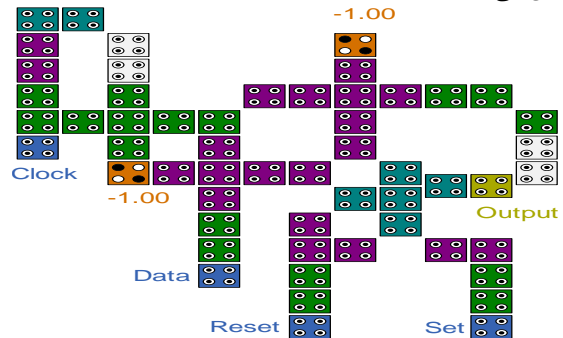
از آنجایی که یکی از بلوک‌های بسیار مهم در ساختار حلقه‌های قفل شده فاز و حلقه‌های قفل شده تأخیر، آشکارساز فاز و فرکانس می‌باشد، طراحی این بلوک از اهمیت بالایی برخوردار خواهد بود.

شکل (۹) ساختار یک آشکارساز فاز و فرکانس متداول را نشان می‌دهد [۱۳ و ۱۴]. آشکارساز فاز و فرکانس مداری است که دو ورودی دریافت می‌کند و متوسط ولتاژ خروجی آن با اختلاف فاز بین دو ورودی آن متناسب است. همان‌طور که در شکل دیده می‌شود، این مدار متشکل از دو فلیپ فلاپ نوع D، یک گیت NAND می‌باشد که دو ورودی مربوطه به ورودی‌های کلاک فلیپ فلاپ‌های نوع D متصل می‌شوند. گیت NAND نیز زمانی که سیگنال‌های خروجی دو فلیپ فلاپ باهم یک منطقی باشند، ریست فلیپ فلاپ‌ها را فعال می‌کند و خروجی را به سمت صفر منطقی می‌برد. بدیهی است که زمانی که

طرح لچ نوع D پیشنهادی در شکل (۵) قابل مشاهده می‌باشد. با توجه به نوع خروجی گیت اکثریت پنج ورودی علیرغم اینکه به اجبار در مسیر فیدبک از گیت وارونگر با نصف فاصله سلول استفاده شده است اما با دقت به مدار می‌توان متوجه شد که سلول‌های بعد از این سلول در مسیر فیدبک و نوع تعیین منطقه زمانی آن‌ها موجب تقویت منطق شده و مدار کاملاً پایدار است. نتایج شبیه‌سازی‌ها نشان دهنده این امر می‌باشد. این طرح از ۳۵ سلول و تأخیر ۰/۵ سیکل تشکیل شده و ۳۹۲۰۴ نانومتر مربع از فضا را اشغال نموده است.

طرح فلیپ فلاپ نوع D حساس به لبه بالا رونده پیشنهادی با افزودن مدار تبدیل حساسیت از سطح به لبه بالا رونده با فرمول  $clock(t) \oplus clock(t-1)$  به لچ شکل (۵) مورد طراحی قرار گرفته و طرح آن در شکل (۶) نمایش داده شده است. این طرح از ۵۵ سلول و تأخیر ۰/۷۵ سیکل تشکیل شده و ۶۱۴۰۴ نانومتر مربع از فضا را اشغال می‌نماید.

همچنین طرح فلیپ فلاپ نوع D حساس به لبه پایین رونده پیشنهادی با افزودن مدار تبدیل حساسیت از سطح به لبه بالا رونده با فرمول  $clock(t) \oplus clock(t-1)$  به لچ شکل (۵) مورد طراحی قرار گرفته و طرح آن در شکل (۷) قابل نمایش است. این طرح از ۵۶ سلول و تأخیر ۰/۷۵ سیکل تشکیل شده و ۶۱۴۰۴ نانومتر مربع از فضا را اشغال می‌نماید.



شکل (۶): فلیپ فلاپ نوع D حساس به لبه بالا رونده پیشنهادی در تکنولوژی اتوماتای سلولی نقطه‌ای کوانتومی

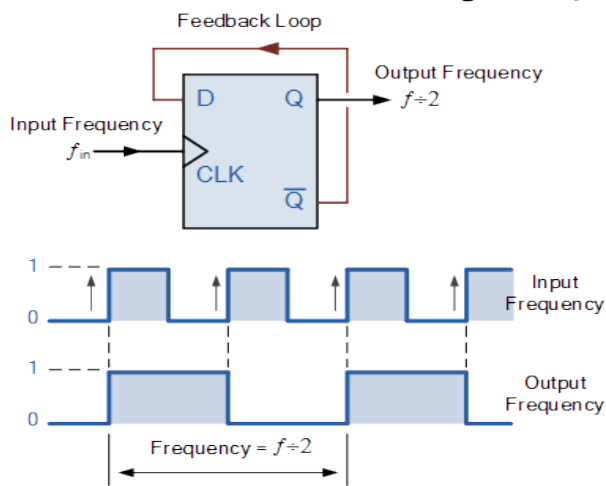
## ۴-۲- طراحی تقسیم کننده فرکانسی در تکنولوژی

### QCA

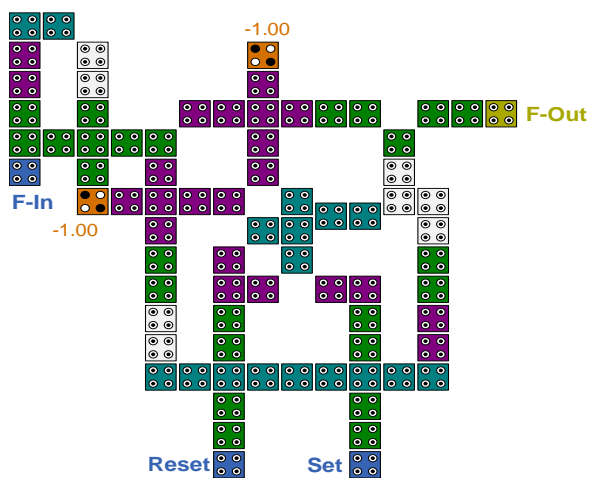
تقسیم کننده فرکانس مدار است که یک سیگنال را دریافت نموده و خروجی آن همان سیگنال با فرکانس تقسیم شده می باشد. ساده ترین مدار تقسیم کننده فرکانس، مدار تقسیم بر دو می باشد و بلوک دیگرام این مدار در شکل (۱۱) نشان داده شده است. این مدار از یک فلیپ فلاپ تشکیل شده است که معکوس خروجی آن به ورودی آن متصل شده است و سیگنال ورودی به خط کنترل مدار متصل شود.

در این مقاله با استفاده از طرح فلیپ فلاپ حساس به لبه بالا رونده پیشنهادی و بلوک دیگرام شکل (۱۱)، به طراحی مدار تقسیم کننده فرکانسی پرداخته شده است.

با توجه به تعداد زیاد سلول در فیدبک و همزمان سازی ورودی ها، سیم فیدبک گرفته شده از خروجی به مناطق زمانی مختلف تقسیم شده است. مدار طراحی شده با فلیپ فلاپ نوع D پیشنهادی در شکل (۱۲) قابل مشاهده می باشد.

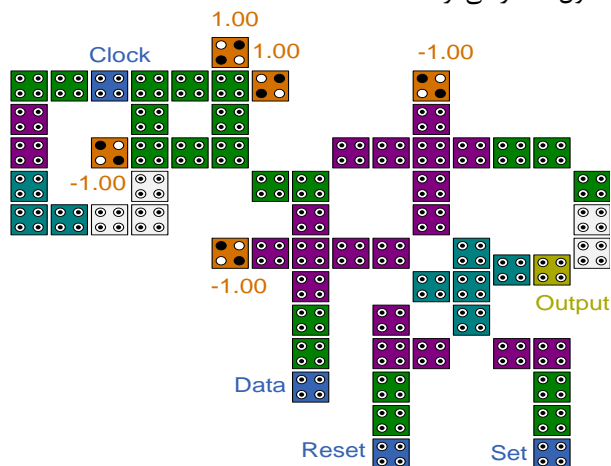


شکل (۱۱): بلوک دیگرام تقسیم کننده فرکانسی

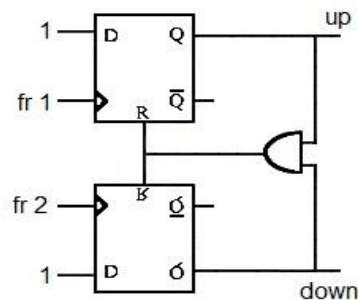


شکل (۱۲): تقسیم کننده فرکانس با استفاده از ساختار فلیپ فلاپ پیشنهادی

سیگنال اول برابر با یک منطقی شود، ورودی D آن (یعنی یک منطقی) به خروجی می رود. تا زمانی که لبه بالا رونده سیگنال دوم اعمال شود، این خروجی یک باقی می ماند. در این صورت برای یک لحظه کوتاه هر دو خروجی یک منطقی شده و گیت NAND مسیر ریست را فعال کرده و خروجی برابر با صفر منطقی خواهد شد. بنابراین به این صورت اختلاف فاز بین دو ورودی آشکارساز فاز و فرکانس متداول آشکار می گردد.

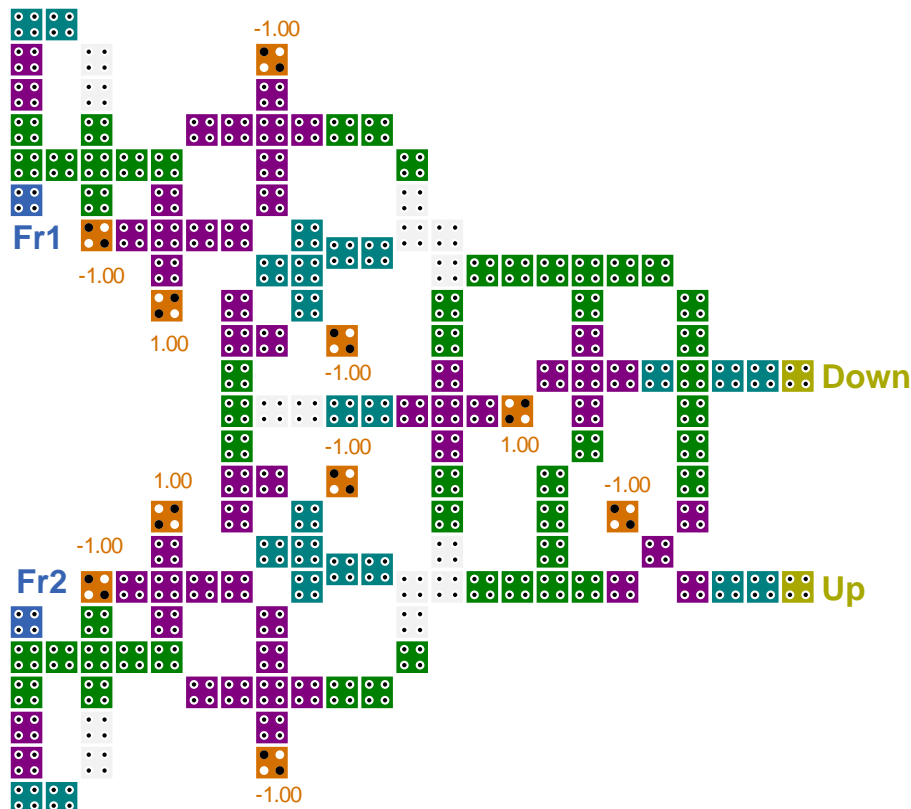


شکل (۸): فلیپ فلاپ نوع D حساس به لبه پیشنهادی در تکنولوژی اتوماتای سلولی نقطه ای کوانتومی

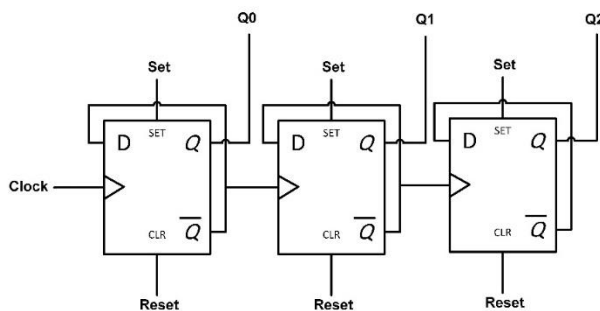


شکل (۹): بلوک آشکارساز فاز و فرکانس طرح اول

در این مقاله با استفاده از طرح فلیپ فلاپ حساس به لبه بالا رونده پیشنهادی به طراحی مدار آشکارساز فاز-فرکانس پرداخته شده است. ساختار آشکارساز فاز-فرکانس پیشنهادی در تکنولوژی QCA در شکل (۱۰) نشان داده شده است. این ساختار اختلاف فاز بین لبه های بالا رونده سیگنال های ورودی آشکارساز فاز-فرکانس را تعیین می کند. مشابه اگر از فلیپ فلاپ پیشنهادی حساس به لبه بالا رونده و یا فلیپ فلاپ پیشنهادی حساس به لبه دو لبه در ساختار بلوک دیگرامی آشکارساز فاز-فرکانس استفاده گردد به ترتیب آشکارسازی اختلاف فاز دو سیگنال ورودی آشکارساز فاز-فرکانس در لبه های پایین رونده و دو لبه صورت خواهد گرفت.



شکل (۱۰): آشکارساز فاز و فرکانس پیشنهادی با استفاده از فلیپ فلاپ پیشنهادی حساس به لبه بالارونده



شکل (۱۳): بلوک دیاگرام شمارنده سه بیتی

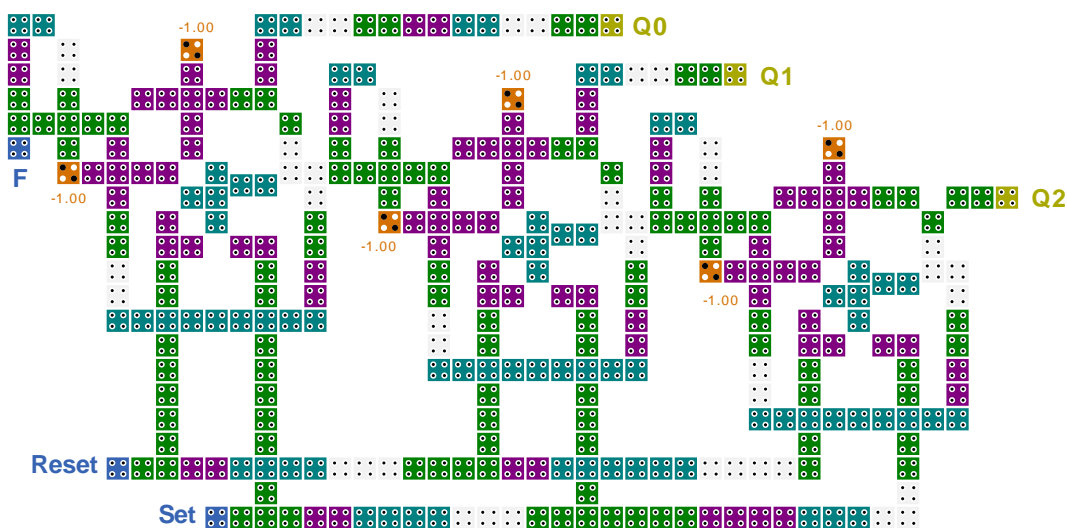
## ۵- شبیه سازی و نتایج

در این مقاله طرحهای پیشنهادی توسط نرم افزارهای QCADesigner و QCAPro به ترتیب جهت تصدیق رفتار عملکردی و بررسی میزان توان اتلافی شبیه سازی گردیدند. نتیجه شبیه سازی مدار و نقشه توان لچ پیشنهادی به ترتیب در شکل های (۱۵) و (۱۶) آمده است. نتایج شبیه سازی به ۶ بخش اصلی (شماره گذاری با شماره های ۱ تا ۶) تقسیم گشته که دلیل آن نشان دادن حالت های ممکن اعمال ورودی می باشد. این بخش ها به ترتیب اعمال یک منطقی به ورودی، بازنشانی، نشانند و اعمال صفر منطقی به ورودی می باشد. دو حالت آخر برای نشان دادن حالت فعال شدن همزمان بازنشانی و نشانند می باشد. با توجه به بلوک استفاده شده انتظار می رود تا در صورت همزمان ست و ریست خروجی صفر منطقی

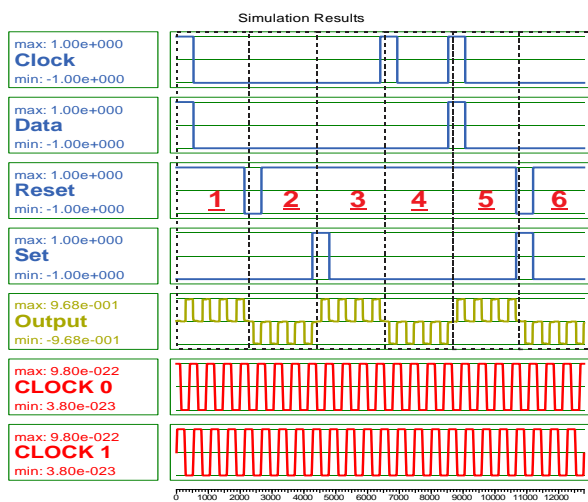
## ۴-۳- طراحی شمارنده در تکنولوژی QCA

شمارنده ها از مهم ترین و پرکاربردترین مدارهای دیجیتال هستند. توجه به این موضوع طراحی شمارنده هایی که توان شمارش از یک عدد خاص تا یک عدد خاص دیگر را داشته باشند اهمیت ویژه ای دارد. برای طراحی این نوع از شمارنده ها باید از فلیپ فلاپهایی با قابلیت بازنشانی و نشانند استفاده نمود و مدارهای پیشنهادی این مقاله این قابلیت ها را دارا می باشند. برای طراحی شمارنده ها طرح های مختلفی وجود دارد. با استفاده از متصل نمودن چند مدار تقسیم کننده فرکانس می توان شمارنده ها را طراحی نمود که بلوک دیاگرام شمارنده سه بیتی در شکل (۱۳) نشان داده شده است.

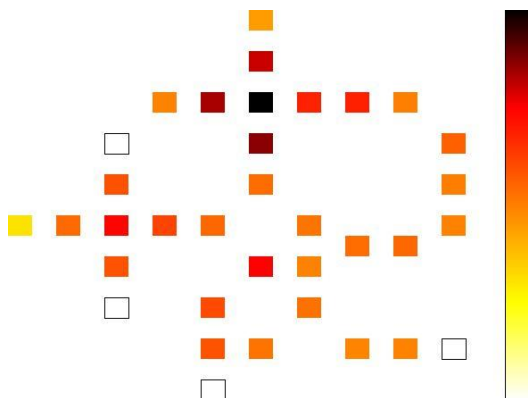
در این مقاله با استفاده از فلیپ فلاپ حساس به لبه بالارونده پیشنهادی و بلوک دیاگرام شکل (۱۳)، به طراحی مدار شمارنده سه بیتی در تکنولوژی QCA پرداخته شده است. مدار طراحی شده شکل (۱۴) قابل مشاهده می باشد. با توجه به تعداد زیاد سلول در فیدبک و سیم پایه های بازنشانی و نشانند و همزمان سازی ورودی ها، سیم فیدبک گرفته شده از خروجی و سیم پایه های بازنشانی و نشانند به مناطق زمانی مختلف تقسیم شده است.



شکل (۱۴): شمارنده با استفاده از ساختار فلیپ فلاپ پیشنهادی



شکل (۱۵): شبیه سازی لچ پیشنهادی



شکل (۱۶): نقشه توان ساختار لچ پیشنهادی

شود. به همین دلیل بعد از حالت اعمال صفر منطقی به ورودی، دوباره خروجی در بخش پنجم توسط اعمال ورودی یک منطقی شده و سپس دو پایه بازنشانی و نشانیدن باهم فعال شده و خروجی صفر منطقی می-شود. نکته مهم در اعمال ورودی در این طرح، فعال شدن پایه بازنشانی با صفر منطقی می-باشد. در شکل-۱۶ که نقشه توان ساختار پیشنهادی را نشان می-دهد، نقاط تیره تر معرف سلولهای با انرژی مصرفی بیشتر و نقاط روشن تر بیانگر سلولهای با انرژی کمتری هستند. لازم به ذکر است که تعداد ورودی، تعداد سلولهای با مقدار ثابت و ساختار مدار در میزان انرژی مصرفی موثر است.

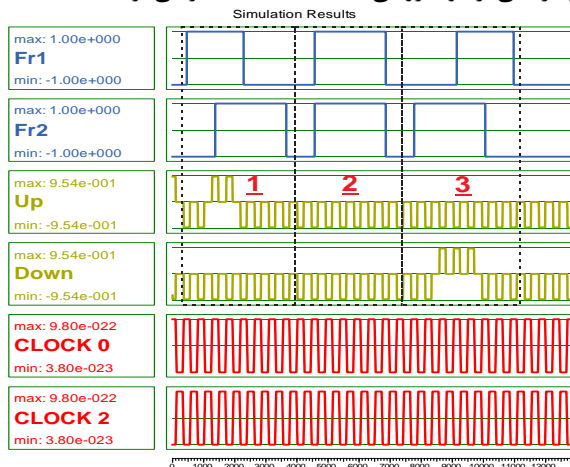
نتیجه شبیه سازی مدار و نقشه توان فلیپ فلاپ نوع D پیشنهادی حساس به لبه بالا رونده به ترتیب در شکل های (۱۷) و (۱۸) آمده است. نحوه بخش بندی نتیجه شبیه سازی مشابه شکل (۱۵) بوده اما نحوه اعمال ورودی ها به طوری بوده که حساسیت به لبه بالا رونده نشان داده شود. در این ساختار انتقال اطلاعات فقط در لبه های بالا رونده کلاک ورودی رخ می-دهد. به جهت جلوگیری از تکرار، شبیه سازی حالات پایین رونده و دو لبه ارائه نشده است.

در جدول (۱) مقایسه بین مدار پیشنهادی به عنوان لچ و سایر مدارات ارائه شده است. با توجه به این جدول طرح پیشنهادی از نظر تعداد سلول، فضای اشغالی و تاخیر ساختار مناسبی می-باشد. در این جدول تابع هزینه مطابق با روابط تابع هزینه در [۱۵] محاسبه شده است.

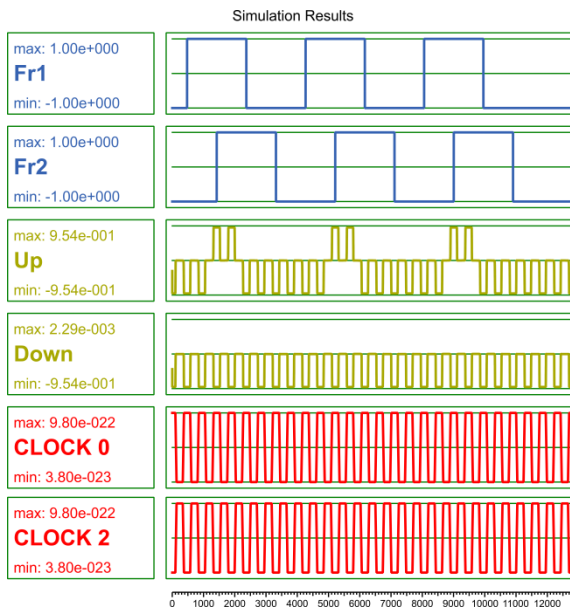
همچنین در جدول (۲) مقایسه ای بین فلیپ فلاپ نوع D پیشنهادی و سایر ساختارهای مشابه ارائه شده است که حکایت از برتری طرح پیشنهادی از لحاظ عملکردی نسبت به کارهای گذشته دارد. همانگونه که ملاحظه می-گردد ساختار فلیپ فلاپ پیشنهادی علاوه بر داشتن توام پایه های نشانیدن و بازنشانی از نظر تعداد سلول، فضای اشغالی و تاخیر رفتار مناسبی از خود نشان می-دهد.

طرح پیشنهادی	۵۵	۰/۰۶	۰/۷۵	هر دو	۱۱/۲۵
--------------	----	------	------	-------	-------

جهت تصدیق رفتار آشکارساز فاز-فرکانس پیشنهادی نیز شبیه‌سازی-های مربوطه انجام گرفته است. نتایج شبیه‌سازی مدار شکل (۱۰) در شکل (۱۹) نشان داده شده است. برای نشان دادن صحت عملکرد مدار دو شبیه‌سازی مجزا انجام شده است. شبیه‌سازی اول مربوط به سه حالت ممکن پیش‌فاز، هم‌فاز و پس‌فاز بودن دو سیگنال ورودی آ‌آی‌آ بوده که در شکل به ترتیب با شماره‌های ۱ و ۲ و ۳ مشخص شده است (شکل (۱۰-الف)). شبیه‌سازی‌های دیگر نیز مربوط به دو سیگنال هم‌فرکانس با اختلاف فاز ثابت است (شکل (۱۰-ب)) که در این حالت بسته به جلو یا عقب بودن سیگنال اصلی سیگنالی متناسب با اختلاف فاز در یکی از دو خروجی Up یا Down ظاهر می‌گردد.

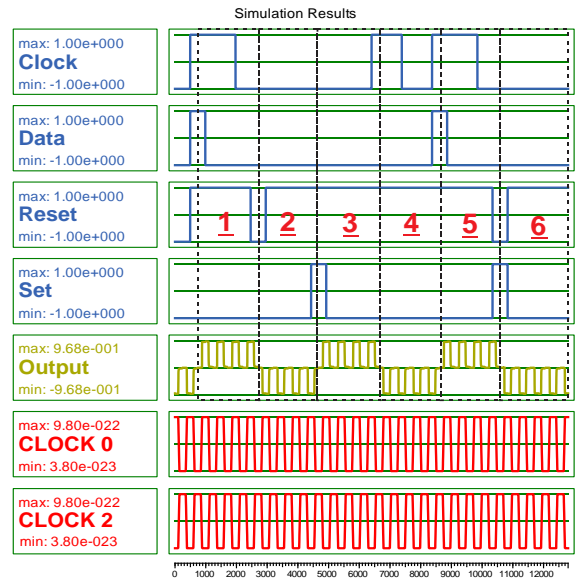


(الف)

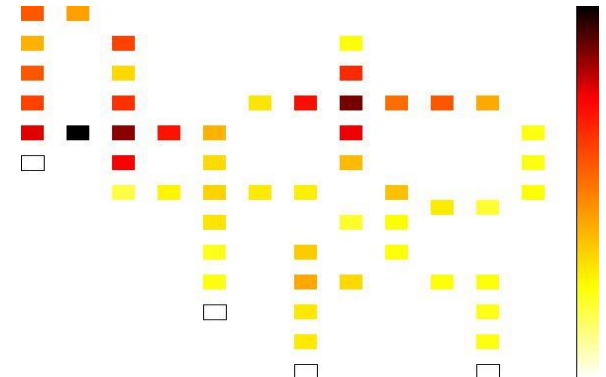


(ب)

شکل (۱۹): الف- شبیه‌سازی سه حالت مختلف در اختلاف فاز دو سیگنال ب- شبیه‌سازی آشکارساز فاز-فرکانس پیشنهادی با دو سیگنال ورودی هم‌فرکانس با اختلاف فاز ثابت



شکل (۱۷): شبیه‌سازی فلیپ فلاپ حساس به لبه بالارونده پیشنهادی



شکل (۱۸): نقشه توان فلیپ فلاپ حساس به لبه بالارونده

### پیشنهادی

جدول (۱): مقایسه لچ‌های پیشنهادی و نمونه‌های مشابه پیشنهادی

Cost	بازنشانی و نشانند	تاخیر (دوره)	فضا ( $\mu m^2$ )	تعداد سلول
۲۹/۶۸	-	۱/۲۵	۰/۰۴	۴۳
۱۸/۲	بازنشانی	۱/۵	۰/۰۶	۵۴
۷۶/۵۶	هر دو	۱/۷۵	۰/۱۱	۹۳
۱۷	بازنشانی	۱	۰/۰۵	۴۸
۳	هر دو	۰/۵	۰/۰۴	۳۵

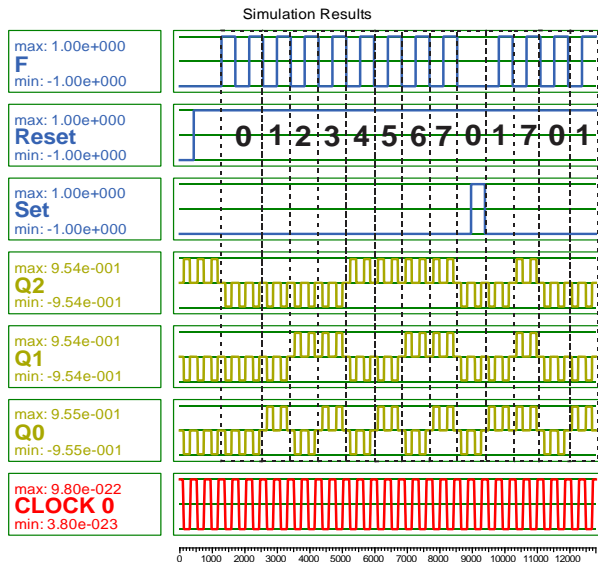
جدول (۲): مقایسه فلیپ فلاپ‌های حساس به لبه بالارونده پیشنهادی

### و نمونه‌های مشابه پیشنهادی

Cost	بازنشانی و نشانند	تاخیر (دوره)	فضا ( $\mu m^2$ )	تعداد سلول
۱۸	-	۱	۰/۰۷	۷۵
۱۳۶/۱	-	۲/۷۵	۰/۰۹	۸۴
۲۸/۱۲۵	-	۱/۲۵	۰/۰۴	۴۶
۱۹	بازنشانی	۱	۰/۱۱	۹۵
۲۰	بازنشانی	۱	۰/۱۳	۱۱۲



جهت اثبات صحت رفتاری مدار پیشنهادی در مدارهای پیچیده‌تر، این ساختارها در قالب آشکارساز فاز-فرکانس، تقسیم کننده فرکانسی و شمارنده مورد استفاده قرار گرفته است. برای ساختارهای پیشنهادی شبیه سازی پارامترهای توان نیز صورت گرفته است و مدارهای ارائه شده رفتار مناسبی از لحاظ میزان اتلاف انرژی داشته‌اند.



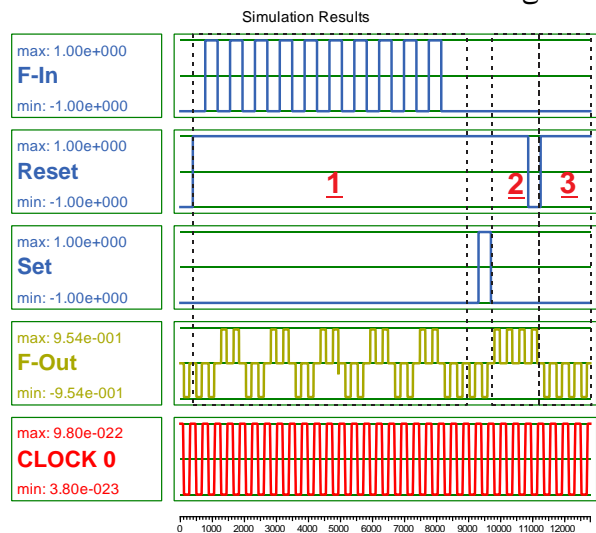
شکل (۲۱): نتایج شبیه‌سازی شمارنده سه بین با مدار پیشنهادی

## مراجع

- [1] Binaei R, Gholami M. Design of Multiplexer-Based D Flip-Flop with Set and Reset Ability in Quantum Dot Cellular Automata Nanotechnology. *International Journal of Theoretical Physics*. 2019 Mar 15;58(3):687-99.
- [2] Amirzadeh Z, Gholami M. Counters Designs with Minimum Number of Cells and Area in the Quantum-Dot Cellular Automata Technology. *International Journal of Theoretical Physics*. 2019 Jun 15;58(6):1758-75.
- [3] Lent CS, Tougaw PD, Porod W, Bernstein GH. Quantum cellular automata. *Nanotechnology*. 1993 Jan;4(1):49.
- [4] Tougaw PD, Lent CS. Logical devices implemented using quantum cellular automata. *Journal of Applied physics*. 1994 Feb 1;75(3):1818-25.19.
- [5] Srivastava, Saket. "Probabilistic modeling of quantum-dot cellular automata." (2007).
- [6] Shamsabadi AS, Ghahfarokhi BS, Zamanifar K, Movahedinia N. Applying inherent capabilities of quantum-dot cellular automata to design: D flip-flop case study. *Journal of systems architecture*. 2009 Mar 1;55(3):180-7.
- [7] Khurasia A, Gambhir P. Quantum cellular automata. final project report. 2006.
- [8] Zoka S, Gholami M. A novel rising Edge Triggered Resettable D flip-flop using five input majority gate. *Microprocessors and Microsystems*. 2018 Sep 1;61:327-35.
- [9] Roshan MG, Gholami M. Novel D latches and D flip-flops with set and reset ability in QCA nanotechnology using minimum cells and area. *International Journal of Theoretical Physics*. 2018 Oct 1;57(10):3223-41.
- [10] Binaei R, Gholami M. Design of novel D flip-flops with set and reset abilities in quantum-dot cellular automata

جهت تصدیق عملکرد تقسیم کننده فرکانسی پیشنهادی با قابلیت ست و ریست، شبیه‌سازیهای مورد نظر صورت گرفته است. نتایج شبیه‌سازی تقسیم کننده فرکانسی پیشنهادی در شکل (۲۰) قابل مشاهده می‌باشد. نتایج از سه بخش اصلی تشکیل شده که با شماره‌های ۱ تا ۳ مشخص شده‌اند. در بخش اول مدار به صورت معمولی به کار خود پرداخته و فرکانس خروجی (F-Out) نصف فرکانس ورودی (F-In) می‌باشد (مدار تقسیم بر ۲ را انجام می‌دهد). در بخش دوم خروجی مدار باید صفر منطقی باشد اما به واسطه فعال شدن پایه نشانند (Set)، یک منطقی شده است. بخش سوم نیز خروجی مدار در صورت فعال شدن پایه بازنشانی (Reset) را نشان می‌دهد که خروجی مدار صفر منطقی خواهد شد. از این دو پایه می‌توان برای کنترل مدار و رساندن خروجی آن به حالت موردنظر استفاده نمود.

نتیجه شبیه‌سازی شمارنده ۳ بیتی پیشنهادی نیز در شکل (۲۱) قابل مشاهده می‌باشد. همان‌طور که در نتیجه شبیه‌سازی مشهود است مدار در ابتدا توسط پایه بازنشانی (Reset) به حالت صفر رفته پس از آن تا هفت شمرده و دوباره به حالت صفر برگشته و شمارش را ادامه می‌دهد. در حالتی که خروجی صفر می‌باشد پایه نشانند فعال شده و پس از دو سیکل تأخیر که به علت تأخیر سیم می‌باشد، خروجی پس از حالت یک به حالت هفت رفته و بعد از آن به حالت صفر بازگشته و شمارش را ادامه می‌دهد.



شکل (۲۰): نتیجه شبیه‌سازی تقسیم کننده فرکانس با مدار پیشنهادی

## ۶- نتیجه‌گیری

در این مقاله، یک ساختار جدید برای لچ نوع D در تکنولوژی اتوماتای سلولی نقطه‌ای کوانتومی که دارای پایه‌های نشانند و بازنشانی است، ارائه شد. ساختار پیشنهادی علیرغم داشتن پایه‌های نشانند و بازنشاندن، از نظر تعداد سلولهای کوانتومی، سطح مقطع اشغالی و تاخیر، شرایط مطلوبی داشته است. همچنین از این ساختار برای پیاده‌سازی فلیپ فلاپهای نوع D دارای پایه‌های نشانند و بازنشاندن حساس به لبه بالارونده، پایین رونده و هر دو لبه استفاده شد. در ادامه

- nanotechnology. *Computers & Electrical Engineering*. 2019 Mar 1;74:259-72.
- [11] Zoka S, Gholami M. Two Novel D-Flip Flops with Level Triggered Reset in Quantum Dot Cellular Automata Technology. *International Journal of Engineering-Transactions C: Aspects*. 2017 Oct 12;31(3):415-21.
- [12] Sabbaghi-Nadooshan R. A novel quantum-dot cellular automata CLB of FPGA. *Journal of Computational Electronics*. 2014 Sep 1;13(3):709-25.
- [13] Gholami M. Phase detector with minimal blind zone and reset time for GSamples/s DLLs. *Circuits, Systems, and Signal Processing*. 2017 Sep 1;36(9):3549-63.
- [14] Sofimowloodi S, Razaghian F, Gholami M. Low-Power High-Frequency Phase Frequency Detector for Minimal Blind-Zone Phase-Locked Loops. *Circuits, Systems, and Signal Processing*. 2019 Feb 15;38(2):498-511.
- [15] Liu W, Lu L, O'Neill M, Swartzlander EE. A first step toward cost functions for quantum-dot cellular automata designs. *IEEE Transactions on Nanotechnology*. 2014 May 1;13(3):476-87.
- [16] Chakrabarty R, Mahato DK, Banerjee A, Choudhuri S, Dey M, Mandal NK. A novel design of flip-flop circuits using quantum dot cellular automata (QCA). *InComputing and Communication Workshop and Conference (CCWC)*, 2018 IEEE 8th Annual 2018 Jan 8 (pp. 408-414). IEEE.
- [17] Sabbaghi-Nadooshan R, Kianpour M. A novel QCA implementation of MUX-based universal shift register. *Journal of Computational Electronics*. 2014 Mar 1;13(1):198-210.
- [18] Purkayastha T, De D, Chattopadhyay T. Universal shift register implementation using quantum dot cellular automata. *Ain Shams Engineering Journal*. 2016 Mar 9.
- [19] Hashemi S, Navi K. New robust QCA D flip flop and memory structures. *Microelectronics Journal*. 2012 Dec 1;43(12):929-40.
- [20] Abutaleb MM. A novel power-efficient high-speed clock management unit using quantum-dot cellular automata. *Journal of Nanoparticle Research*. 2017 Apr 1;19(4):128.